

## TM

محمود گودرزی<sup>۱</sup>، مهدی فرح پور<sup>۲</sup> و سیدعلیرضا موسوی<sup>۱</sup>

۱- کارشناس ارشد پژوهشی [Goudarzi@rifr-ac.ir](mailto:Goudarzi@rifr-ac.ir) مؤسسه تحقیقات جنگلها و مراع کشور.

۲- عضو هیات علمی مؤسسه تحقیقات جنگلها و مراع کشور

تاریخ دریافت: ۸۴/۱۲/۷ تاریخ پذیرش: ۸۵/۶/۲۰

### چکیده

رشد سریع جمعیت در ایران مانند دیگر کشورهای در حال توسعه سبب استفاده بیش از حد طرفیت و وارد آمدن فشار مضاعف بر منابع طبیعی شده است که نتیجه آن سبب تغییرات سریع پوشش زمین و کاربری اراضی گردیده است. بنابر این شناخت سریع و دقیق انواع پوشش زمین شامل مراع، اراضی کشاورزی آبی و دیم، تاسیسات و... می‌تواند نقش موثری در برنامه‌ریزی و مدیریت منابع طبیعی داشته باشد. تحقیق حاضر با انگیزه یافتن روشی سریع و دقیق برای طبقه‌بندی اراضی مرتعی و شناخت انواع پوشش زمین با استفاده از تصاویر ماهواره لنست (Senjende TM) در حوضه آبخیز نمرود انجام شد. تصاویر تهیه شده با استفاده از نقشه توپوگرافی ۱:۵۰۰۰۰ و نقاط کترلی، زمین مرجع شدند. با استفاده از تکنیک‌های آشکارسازی (ترکیب رنگی کاذب، تجزیه و تحلیل مولفه‌های اصلی) و تجزیه و تحلیل تصاویر(شاخص پوشش گیاهی NDVI و طبقه‌بندی نظارت شده) در محیط GIS (نرم افزار ILWIS)، انواع پوشش زمین شامل اراضی کشاورزی آبی، اراضی کشاورزی دیم، مناطق صخره‌ای (توده سنگی) و انواع طبقات مرتع (خوب، متوسط و فقیر) با دقت ۸۹/۵ درصد از هم تفکیک شدند.

واژه‌های کلیدی: سنجش از دور، تصاویر TM، کاربری اراضی، پوشش زمین، شاخص پوشش گیاهی، حوضه نمرود

---

1 - land cover  
2 - land satellite  
3 - false color composite  
4 - principal component analysis  
5 - Normalized Different Vegetation Index  
6 - supervised classification

## مقدمه

پوشش زمین به حالات مختلف مانند پوشش گیاهی، آب، مناطق توode سنگی و ... اطلاق می‌گردد، در حالی که استفاده از اراضی به نوع استفاده انسان از زمین بر می‌گردد (FAO, 1990). این دو واژه اگر چه مفاهیم متفاوتی دارند، ولی در بسیاری از موارد دارای معنی مشترک بوده و به جای هم مورد استفاده قرار می‌گیرند. واضح است که تغییرات پوشش زمین در اثر زمان پذیده‌ای طبیعی بوده و به آرامی و هماهنگ با بوم سازگان طبیعی منطقه صورت می‌گیرد، ولی دخالت‌های بی‌رویه انسان مانند تبدیل اراضی مرتعی به دیم، ایجاد تاسیسات و شبکه راهها، قطع اشجار و بوته‌ها و سایر موارد سبب تشدید سرعت تغییرات پوشش زمین می‌شود. برای بررسی این تغییرات نیاز به ابزاری است که به آسانی و در زمانهای مختلف در دسترس باشد. همچنین بتواند تغییرات سریع پوشش زمین را مورد بررسی قرار دهد. یکی از ابزارها و تکنیکهایی که می‌تواند در این زمینه موثر باشد سنجش از راه دور است.

سنجش از دور را می‌توان علم کسب اطلاعات از سطح زمین بدون تماس فیزیکی با زمین نامید که شامل استفاده از عکس‌های هوایی و تصاویر ماهواره‌ای می‌باشد. مزیت عمده تصاویر ماهواره‌ای قابلیت استفاده از آنها به صورت رقومی است که می‌توانند به‌وسیله کامپیوتر تجزیه و تحلیل شده و همچنین دسترسی به آنها در زمانهای مختلف میسر می‌باشد. مزیت دیگر اطلاعات رقومی در این است که طبقه‌بندی با استفاده از چندین تصویر به طور همزمان و در مدت زمانی کوتاه و به صورت مکرر قابل اجرا است (مسعودی، ۱۳۸۰).

Bani Neameh (2003) نقشه کاربری اراضی منطقه روزه‌چای ارومیه را با استفاده از تصاویر ETM سال ۱۳۷۹، شاخص پوشش گیاهی NDVI و طبقه‌بندی

نظارت شده تهیه نمود. کاربرهای تفکیک شده شامل ۳ طبقه مرتع (بر اساس وضعیت فعلی) خوب، متوسط، فقیر، بیرون زدگی سنگی و اراضی کشاورزی بود. نامبرده اظهار می‌دارد که دقت کل طبقه‌بندی انجام شده برابر ۷۷/۷۸ درصد است.

Mirakhorlo (1998) با استفاده از تصاویر ماهواره‌ای TM شهریور ماه سال ۱۹۹۸ و شاخص پوشش گیاهی NDVI نقشه پوشش قسمتی از منطقه دماوند را تهیه نمود و همچنین مرتع را بر اساس وضعیت فعلی آن به ۳ طبقه مرتع خوب، متوسط و فقیر تقسیم نمود.

فیله‌کش (۱۳۷۹) با استفاده از داده‌های رقومی لندست TM سال ۱۹۹۸، طبقات اراضی را با استفاده از شاخص پوشش گیاهی NDVI تفکیک نمود. طبقات اراضی تفکیک شده شامل اراضی زراعی آبی و دیم، مرتع خوب و ضعیف، اراضی بدون پوشش و مناطق شهری و نیز با غذا بودند که با دقت ۹۵ درصد تفکیک شدند. نتایج حاصل از بررسی مساحت کلی شاخص‌ها و نقشه پوشش گیاهی به روش زمینی نشانگر اینست که مرتع فقیر با شاخص NDVI با دقت مناسبی تشخیص داده می‌شوند و می‌توان آنها را تفکیک نمود.

Kahlilpoor (1999) با استفاده از داده‌های رقومی لندست TM، شاخص NDVI و مقادیر DN، پوشش گیاهی منطقه دماوند را به ۵ طبقه شامل ۳ طبقه مرتع (خوب، متوسط و فقیر)، با غذا و اراضی زراعی تفکیک نمود.

مختاری و همکاران (۱۳۷۹) برای تهیه نقشه پوشش زمین با استفاده از سنجش از راه دور، از شاخص‌های مختلفی استفاده نمودند که شاخص NDVI به عنوان بهترین شاخص از لحاظ همبستگی با پوشش گیاهی شناخته شد. ضریب همبستگی آن بالای ۸۰ درصد و در سطح احتمال ۱٪ معنی دار است.

مطالعه حاضر برای بررسی نقش تصاویر ماهواره‌ای در مطالعه و تفکیک انواع مختلف پوشش زمین و طبقات

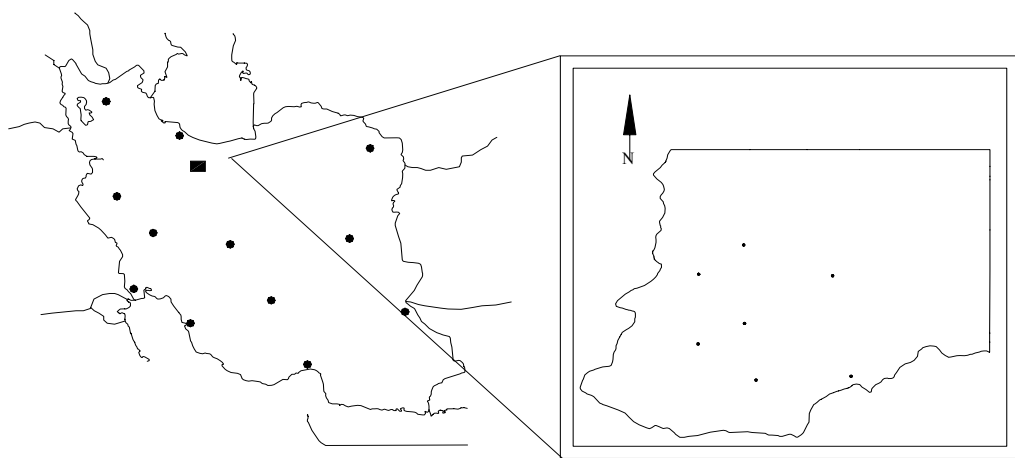
(Sabet,2000). این محدوده از نظر ژئومورفولوژی دارای ۴ واحد کوهستان، تپه، دشت و دره بوده و بر اساس نقشه‌های زمین‌شناسی و سنگ‌شناسی، لیتولوژی غالب منطقه شامل آهک، توف و شیل و مواد آبرفتی می‌باشد. خاک منطقه دارای تکامل پروفیلی بوده و طبق رده‌بندی امریکایی سال ۱۹۹۸ در زیر رده و تحت رده گروههای بزرگ اینسپیتی‌سول (Inceptisoil) قرار می‌گیرد (Goudarzi,2000). فعالیتهای کشاورزی درمنطقه به صورت دیم و آبی انجام می‌گردد که اراضی آبی در دشتها تمرکز یافته‌اند و اراضی دیم بیشتر بر روی پلاتوها (تراسها) و بعضی از قسمتهای تپه‌ها پراکنده شده‌اند. پوشش گیاهی منطقه شامل انواع مختلف گراسهای چندساله و بوته‌ها می‌باشد. طبق مطالعات بعمل آمده (Mohammadi,2000) در منطقه مورد مطالعه ۹ تیپ مرتعی مجزا گردیده است که خصوصیات آنها به تفکیک در جدول ۱ آمده است.

مرتع (بر اساس وضعیت) با استفاده از تصاویر ماهواره‌ای می‌باشد.

## مواد و روشها

### الف: منطقه مورد مطالعه

منطقه مورد مطالعه یکی از زیر حوضه‌های حوضه آبخیز نمرود با مساحت حدود ۲۲۰۰۰ هکتار است که در ۱۳۰ کیلومتری شرق تهران و ۱۵ کیلومتری غرب فیروزکوه با طول جغرافیایی "۴۰° و ۴۶° و ۵۲° و ۳۵° و عرض جغرافیایی "۱۰° و ۴۲° و ۳۵° تا '۵۰ و '۳۵ و '۴۰ و '۴۲ و '۴۶ و '۵۰ تا '۵۲ و '۵۴ و '۵۶ و '۵۸ و '۶۰ و '۶۲ و '۶۴ و '۶۶ و '۶۸ و '۷۰ و '۷۲ و '۷۴ و '۷۶ و '۷۸ و '۷۹ و '۸۰ و '۸۲ و '۸۴ و '۸۶ و '۸۸ و '۸۹ و '۹۰ و '۹۱ و '۹۲ و '۹۳ و '۹۴ و '۹۵ و '۹۶ و '۹۷ و '۹۸ و '۹۹ و '۱۰۰ و '۱۰۱ و '۱۰۲ و '۱۰۳ و '۱۰۴ و '۱۰۵ و '۱۰۶ و '۱۰۷ و '۱۰۸ و '۱۰۹ و '۱۰۱۰ و '۱۰۱۱ و '۱۰۱۲ و '۱۰۱۳ و '۱۰۱۴ و '۱۰۱۵ و '۱۰۱۶ و '۱۰۱۷ و '۱۰۱۸ و '۱۰۱۹ و '۱۰۲۰ و '۱۰۲۱ و '۱۰۲۲ و '۱۰۲۳ و '۱۰۲۴ و '۱۰۲۵ و '۱۰۲۶ و '۱۰۲۷ و '۱۰۲۸ و '۱۰۲۹ و '۱۰۲۱۰ و '۱۰۲۱۱ و '۱۰۲۱۲ و '۱۰۲۱۳ و '۱۰۲۱۴ و '۱۰۲۱۵ و '۱۰۲۱۶ و '۱۰۲۱۷ و '۱۰۲۱۸ و '۱۰۲۱۹ و '۱۰۲۲۰ و '۱۰۲۲۱ و '۱۰۲۲۲ و '۱۰۲۲۳ و '۱۰۲۲۴ و '۱۰۲۲۵ و '۱۰۲۲۶ و '۱۰۲۲۷ و '۱۰۲۲۸ و '۱۰۲۲۹ و '۱۰۲۲۱۰ و '۱۰۲۲۱۱ و '۱۰۲۲۱۲ و '۱۰۲۲۱۳ و '۱۰۲۲۱۴ و '۱۰۲۲۱۵ و '۱۰۲۲۱۶ و '۱۰۲۲۱۷ و '۱۰۲۲۱۸ و '۱۰۲۲۱۹ و '۱۰۲۲۱۱۰ و '۱۰۲۲۱۱۱ و '۱۰۲۲۱۱۲ و '۱۰۲۲۱۱۳ و '۱۰۲۲۱۱۴ و '۱۰۲۲۱۱۵ و '۱۰۲۲۱۱۶ و '۱۰۲۲۱۱۷ و '۱۰۲۲۱۱۸ و '۱۰۲۲۱۱۹ و '۱۰۲۲۱۱۱۰ و '۱۰۲۲۱۱۱۱ و '۱۰۲۲۱۱۱۲ و '۱۰۲۲۱۱۱۳ و '۱۰۲۲۱۱۱۴ و '۱۰۲۲۱۱۱۵ و '۱۰۲۲۱۱۱۶ و '۱۰۲۲۱۱۱۷ و '۱۰۲۲۱۱۱۸ و '۱۰۲۲۱۱۱۹ و '۱۰۲۲۱۱۱۱۰ و '۱۰۲۲۱۱۱۱۱ و '۱۰۲۲۱۱۱۱۲ و '۱۰۲۲۱۱۱۱۳ و '۱۰۲۲۱۱۱۱۴ و '۱۰۲۲۱۱۱۱۵ و '۱۰۲۲۱۱۱۱۶ و '۱۰۲۲۱۱۱۱۷ و '۱۰۲۲۱۱۱۱۸ و '۱۰۲۲۱۱۱۱۹ و '۱۰۲۲۱۱۱۱۱۰ و '۱۰۲۲۱۱۱۱۱۱ و '۱۰۲۲۱۱۱۱۱۲ و '۱۰۲۲۱۱۱۱۱۳ و '۱۰۲۲۱۱۱۱۱۴ و '۱۰۲۲۱۱۱۱۱۵ و '۱۰۲۲۱۱۱۱۱۶ و '۱۰۲۲۱۱۱۱۱۷ و '۱۰۲۲۱۱۱۱۱۸ و '۱۰۲۲۱۱۱۱۱۹ و '۱۰۲۲۱۱۱۱۱۱۰ و '۱۰۲۲۱۱۱۱۱۱۱ و '۱۰۲۲۱۱۱۱۱۱۲ و '۱۰۲۲۱۱۱۱۱۱۳ و '۱۰۲۲۱۱۱۱۱۱۴ و '۱۰۲۲۱۱۱۱۱۱۵ و '۱۰۲۲۱۱۱۱۱۱۶ و '۱۰۲۲۱۱۱۱۱۱۷ و '۱۰۲۲۱۱۱۱۱۱۸ و '۱۰۲۲۱۱۱۱۱۱۹ و '۱۰۲۲۱۱۱۱۱۱۱۰ و '۱۰۲۲۱۱۱۱۱۱۱۱ و '۱۰۲۲۱۱۱۱۱۱۱۲ و '۱۰۲۲۱۱۱۱۱۱۱۳ و '۱۰۲۲۱۱۱۱۱۱۱۴ و '۱۰۲۲۱۱۱۱۱۱۱۵ و '۱۰۲۲۱۱۱۱۱۱۱۶ و '۱۰۲۲۱۱۱۱۱۱۱۷ و '۱۰۲۲۱۱۱۱۱۱۱۸ و '۱۰۲۲۱۱۱۱۱۱۱۹ و '۱۰۲۲۱۱۱۱۱۱۱۱۰ و '۱۰۲۲۱۱۱۱۱۱۱۱۱ و '۱۰۲۲۱۱۱۱۱۱۱۱۲ و '۱۰۲۲۱۱۱۱۱۱۱۱۳ و '۱۰۲۲۱۱۱۱۱۱۱۱۴ و '۱۰۲۲۱۱۱۱۱۱۱۱۵ و '۱۰۲۲۱۱۱۱۱۱۱۱۶ و '۱۰۲۲۱۱۱۱۱۱۱۱۷ و '۱۰۲۲۱۱۱۱۱۱۱۱۸ و '۱۰۲۲۱۱۱۱۱۱۱۱۹ و '۱۰۲۲۱۱۱۱۱۱۱۱۱۰ و '۱۰۲۲۱۱۱۱۱۱۱۱۱۱ و '۱۰۲۲۱۱۱۱۱۱۱۱۱۲ و '۱۰۲۲۱۱۱۱۱۱۱۱۱۳ و '۱۰۲۲۱۱۱۱۱۱۱۱۱۴ و '۱۰۲۲۱۱۱۱۱۱۱۱۱۵ و '۱۰۲۲۱۱۱۱۱۱۱۱۱۶ و '۱۰۲۲۱۱۱۱۱۱۱۱۷ و '۱۰۲۲۱۱۱۱۱۱۱۱۸ و '۱۰۲۲۱۱۱۱۱۱۱۱۱۹ و '۱۰۲۲۱۱۱۱۱۱۱۱۱۱۰ و '۱۰۲۲۱۱۱۱۱۱۱۱۱۱۱ و '۱۰۲۲۱۱۱۱۱۱۱۱۱۱۲ و '۱۰۲۲۱۱۱۱۱۱۱۱۱۱۳ و '۱۰۲۲۱۱۱۱۱۱۱۱۱۱۴ و '۱۰۲۲۱۱۱۱۱۱۱۱۱۱۵ و '۱۰۲۲۱۱۱۱۱۱۱۱۱۱۶ و '۱۰۲۲۱۱۱۱۱۱۱۱۱۱۷ و '۱۰۲۲۱۱۱۱۱۱۱۱۱۱۸ و '۱۰۲۲۱۱۱۱۱۱۱۱۱۱۱۹ و '۱۰۲۲۱۱۱۱۱۱۱۱۱۱۱۰ و '۱۰۲۲۱۱۱۱۱۱۱۱۱۱۱۱ و '۱۰۲۲۱۱۱۱۱۱۱۱۱۱۱۲ و '۱۰۲۲۱۱۱۱۱۱۱۱۱۱۱۳ و '۱۰۲۲۱۱۱۱۱۱۱۱۱۱۱۴ و '۱۰۲۲۱۱۱۱۱۱۱۱۱۱۱۵ و '۱۰۲۲۱۱۱۱۱۱۱۱۱۱۱۱۶ و '۱۰۲۲۱۱۱۱۱۱۱۱۱۱۱۱۷ و '۱۰۲۲۱۱۱۱۱۱۱۱۱۱۱۱۸ و '۱۰۲۲۱۱۱۱۱۱۱۱۱۱۱۱۹ و '۱۰۲۲۱۱۱۱۱۱۱۱۱۱۱۱۰ و '۱۰۲۲۱۱۱۱۱۱۱۱۱۱۱۱۱ و '۱۰۲۲۱۱۱۱۱۱۱۱۱۱۱۱۲ و '۱۰۲۲۱۱۱۱۱۱۱۱۱۱۱۱۱۳ و '۱۰۲۲۱۱۱۱۱۱۱۱۱۱۱۱۱۴ و '۱۰۲۲۱۱۱۱۱۱۱۱۱۱۱۱۱۵ و '۱۰۲۲۱۱۱۱۱۱۱۱۱۱۱۱۱۶ و '۱۰۲۲۱۱۱۱۱۱۱۱۱۱۱۱۱۷ و '۱۰۲۲۱۱۱۱۱۱۱۱۱۱۱۱۱۸ و '۱۰۲۲۱۱۱۱۱۱۱۱۱۱۱۱۱۹ و '۱۰۲۲۱۱۱۱۱۱۱۱۱۱۱۱۱۰ و '۱۰۲۲۱۱۱۱۱۱۱۱۱۱۱۱۱۱ و '۱۰۲۲۱۱۱۱۱۱۱۱۱۱۱۱۱۲ و '۱۰۲۲۱۱۱۱۱۱۱۱۱۱۱۱۱۱۳ و '۱۰۲۲۱۱۱۱۱۱۱۱۱۱۱۱۱۱۴ و '۱۰۲۲۱۱۱۱۱۱۱۱۱۱۱۱۱۱۵ و '۱۰۲۲۱۱۱۱۱۱۱۱۱۱۱۱۱۱۱۶ و '۱۰۲۲۱۱۱۱۱۱۱۱۱۱۱۱۱۱۱۷ و '۱۰۲۲۱۱۱۱۱۱۱۱۱۱۱۱۱۱۱۸ و '۱۰۲۲۱۱۱۱۱۱۱۱۱۱۱۱۱۱۱۱۹ و '۱۰۲۲۱۱۱۱۱۱۱۱۱۱۱۱۱۱۱۱۰ و '۱۰۲۲۱۱۱۱۱۱۱۱۱۱۱۱۱۱۱۱ و '۱۰۲۲۱۱۱۱۱۱۱۱۱۱۱۱۱۱۱۲ و '۱۰۲۲۱۱۱۱۱۱۱۱۱۱۱۱۱۱۱۱۳ و '۱۰۲۲۱۱۱۱۱۱۱۱۱۱۱۱۱۱۱۱۴ و '۱۰۲۲۱۱۱۱۱۱۱۱۱۱۱۱۱۱۱۱۵ و '۱۰۲۲۱۱۱۱۱۱۱۱۱۱۱۱۱۱۱۱۱۶ و '۱۰۲۲۱۱۱۱۱۱۱۱۱۱۱۱۱۱۱۱۱۷ و '۱۰۲۲۱۱۱۱۱۱۱۱۱۱۱۱۱۱۱۱۱۱۸ و '۱۰۲۲۱۱۱۱۱۱۱۱۱۱۱۱۱۱۱۱۱۱۹ و '۱۰۲۲۱۱۱۱۱۱۱۱۱۱۱۱۱۱۱۱۱۱۰ و '۱۰۲۲۱۱۱۱۱۱۱۱۱۱۱۱۱۱۱۱۱۱ و '۱۰۲۲۱۱۱۱۱۱۱۱۱۱۱۱۱۱۱۱۱۲ و '۱۰۲۲۱۱۱۱۱۱۱۱۱۱۱۱۱۱۱۱۱۱۳ و '۱۰۲۲۱۱۱۱۱۱۱۱۱۱۱۱۱۱۱۱۱۱۱۴ و '۱۰۲۲۱۱۱۱۱۱۱۱۱۱۱۱۱۱۱۱۱۱۱۵ و '۱۰۲۲۱۱۱۱۱۱۱۱۱۱۱۱۱۱۱۱۱۱۱۱۶ و '۱۰۲۲۱۱۱۱۱۱۱۱۱۱۱۱۱۱۱۱۱۱۱۱۱۷ و '۱۰۲۲۱۱۱۱۱۱۱۱۱۱۱۱۱۱۱۱۱۱۱۱۱۱۸ و '۱۰۲۲۱۱۱۱۱۱۱۱۱۱۱۱۱۱۱۱۱۱۱۱۱۱۱۹ و '۱۰۲۲۱۱۱۱۱۱۱۱۱۱۱۱۱۱۱۱۱۱۱۱۱۱۰ و '۱۰۲۲۱۱۱۱۱۱۱۱۱۱۱۱۱۱۱۱۱۱۱۱۱۱۱ و '۱۰۲۲۱۱۱۱۱۱۱۱۱۱۱۱۱۱۱۱۱۱۱۱۱۲ و '۱۰۲۲۱۱۱۱۱۱۱۱۱۱۱۱۱۱۱۱۱۱۱۱۱۱۱۳ و '۱۰۲۲۱۱۱۱۱۱۱۱۱۱۱۱۱۱۱۱۱۱۱۱۱۱۱۴ و '۱۰۲۲۱۱۱۱۱۱۱۱۱۱۱۱۱۱۱۱۱۱۱۱۱۱۱۵ و '۱۰۲۲۱۱۱۱۱۱۱۱۱۱۱۱۱۱۱۱۱۱۱۱۱۱۱۱۶ و '۱۰۲۲۱۱۱۱۱۱۱۱۱۱۱۱۱۱۱۱۱۱۱۱۱۱۱۱۷ و '۱۰۲۲۱۱۱۱۱۱۱۱۱۱۱۱۱۱۱۱۱۱۱۱۱۱۱۱۸ و '۱۰۲۲۱۱۱۱۱۱۱۱۱۱۱۱۱۱۱۱۱۱۱۱۱۱۱۱۹ و '۱۰۲۲۱۱۱۱۱۱۱۱۱۱۱۱۱۱۱۱۱۱۱۱۱۱۱۱۰ و '۱۰۲۲۱۱۱۱۱۱۱۱۱۱۱۱۱۱۱۱۱۱۱۱۱۱۱۱ و '۱۰۲۲۱۱۱۱۱۱۱۱۱۱۱۱۱۱۱۱۱۱۱۱۱۱۱۱۲ و '۱۰۲۲۱۱۱۱۱۱۱۱۱۱۱۱۱۱۱۱۱۱۱۱۱۱۱۱۳ و '۱۰۲۲۱۱۱۱۱۱۱۱۱۱۱۱۱۱۱۱۱۱۱۱۱۱۱۱۴ و '۱۰۲۲۱۱۱۱۱۱۱۱۱۱۱۱۱۱۱۱۱۱۱۱۱۱۱۱۱۵ و '۱۰۲۲۱۱۱۱۱۱۱۱۱۱۱۱۱۱۱۱۱۱۱۱۱۱۱۱۱۶ و '۱۰۲۲۱۱۱۱۱۱۱۱۱۱۱۱۱۱۱۱۱۱۱۱۱۱۱۱۱۷ و '۱۰۲۲۱۱۱۱۱۱۱۱۱۱۱۱۱۱۱۱۱۱۱۱۱۱۱۱۱۸ و '۱۰۲۲۱۱۱۱۱۱۱۱۱۱۱۱۱۱۱۱۱۱۱۱۱۱۱۱۱۱۱۹ و '۱۰۲۲۱۱۱۱۱۱۱۱۱۱۱۱۱۱۱۱۱۱۱۱۱۱۱۱۱۱۱۰ و '۱۰۲۲۱۱۱۱۱۱۱۱۱۱۱۱۱۱۱۱۱۱۱۱۱۱۱۱۱ و '۱۰۲۲۱۱۱۱۱۱۱۱۱۱۱۱۱۱۱۱۱۱۱۱۱۱۱۱۱۲ و '۱۰۲۲۱۱۱۱۱۱۱۱۱۱۱۱۱۱۱۱۱۱۱۱۱۱۱۱۱۳ و '۱۰۲۲۱۱۱۱۱۱۱۱۱۱۱۱۱۱۱۱۱۱۱۱۱۱۱۱۱۱۴ و '۱۰۲۲۱۱۱۱۱۱۱۱۱۱۱۱۱۱۱۱۱۱۱۱۱۱۱۱۱۱۱۵ و '۱۰۲۲۱۱۱۱۱۱۱۱۱۱۱۱۱۱۱۱۱۱۱۱۱۱۱۱۱۱۱۶ و '۱۰۲۲۱۱۱۱۱۱۱۱۱۱۱۱۱۱۱۱۱۱۱۱۱۱۱۱۱۱۱۷ و '۱۰۲۲۱۱۱۱۱۱۱۱۱۱۱۱۱۱۱۱۱۱۱۱۱۱۱۱۱۱۱۱۸ و '۱۰۲۲۱۱۱۱۱۱۱۱۱۱۱۱۱۱۱۱۱۱۱۱۱۱۱۱۱۱۱۱۹ و '۱۰۲۲۱۱۱۱۱۱۱۱۱۱۱۱۱۱۱۱۱۱۱۱۱۱۱۱۱۱۱۱۰ و '۱۰۲۲۱۱۱۱۱۱۱۱۱۱۱۱۱۱۱۱۱۱۱۱۱۱۱۱۱۱۱ و '۱۰۲۲۱۱۱۱۱۱۱۱۱۱۱۱۱۱۱۱۱۱۱۱۱۱۱۱۱۱۱۲ و '۱۰۲۲۱۱۱۱۱۱۱۱۱۱۱۱۱۱۱۱۱۱۱۱۱۱۱۱۱۱۱۱۳ و '۱۰۲۲۱۱۱۱۱۱۱۱۱۱۱۱۱۱۱۱۱۱۱۱۱۱۱۱۱۱۱۱۴ و '۱۰۲۲۱۱۱۱۱۱۱۱۱۱۱۱۱۱۱۱۱۱۱۱۱۱۱۱۱۱۱۱۵ و '۱۰۲۲۱۱۱۱۱۱۱۱۱۱۱۱۱۱۱۱۱۱۱۱۱۱۱۱۱۱۱۱۶ و '۱۰۲۲۱۱۱۱۱۱۱۱۱۱۱۱۱۱۱۱۱۱۱۱۱۱۱۱۱۱۱۱۷ و '۱۰۲۲۱۱۱۱۱۱۱۱۱۱۱۱۱۱۱۱۱۱۱۱۱۱۱۱۱۱۱۱۱۸ و '۱۰۲۲۱۱۱۱۱۱۱۱۱۱۱۱۱۱۱۱۱۱۱۱۱۱۱۱۱۱۱۱۱۹ و '۱۰۲۲۱۱۱۱۱۱۱۱۱۱۱۱۱۱۱۱۱۱۱۱۱۱۱۱۱۱۱۱۱۰ و '۱۰۲۲۱۱۱۱۱۱۱۱۱۱۱۱۱۱۱۱۱۱۱۱۱۱۱۱۱۱۱۱۱ و '۱۰۲۲۱۱۱۱۱۱۱۱۱۱۱۱۱۱۱۱۱۱۱۱۱۱۱۱۱۱۱۱۱۲ و '۱۰۲۲۱۱۱۱۱۱۱۱۱۱۱۱۱۱۱۱۱۱۱۱۱۱۱۱۱۱۱۱۱۳ و '۱۰۲۲۱۱۱۱۱۱۱۱۱۱۱۱۱۱۱۱۱۱۱۱۱۱۱۱۱۱۱۱۱۴ و '۱۰۲۲۱۱۱۱۱۱۱۱۱۱۱۱۱۱۱۱۱۱۱۱۱۱۱۱۱۱۱۱۱۵ و '۱۰۲۲۱۱۱۱۱۱۱۱۱۱۱۱۱۱۱۱۱۱۱۱۱۱۱۱۱۱۱۱۱۶ و '۱۰۲۲۱۱۱۱۱۱۱۱۱۱۱۱۱۱۱۱۱۱۱۱۱۱۱۱۱۱۱۱۱۷ و '۱۰۲۲۱۱۱۱۱۱۱۱۱۱۱۱۱۱۱۱۱۱۱۱۱۱۱۱۱۱۱۱۱۸ و '۱۰۲۲۱۱۱۱۱۱۱۱۱۱۱۱۱۱۱۱۱۱۱۱۱۱۱۱۱۱۱۱۱۹ و '۱۰۲۲۱۱۱۱۱۱۱۱۱۱۱۱۱۱۱۱۱۱۱۱۱۱۱۱۱۱۱۱۱۰ و '۱۰۲۲۱۱۱۱۱۱۱۱۱۱۱۱۱۱۱۱۱۱۱۱۱۱۱۱۱۱۱۱۱۱ و '۱۰۲۲۱۱۱۱۱۱۱۱۱۱۱۱۱۱۱۱۱۱۱۱۱۱۱۱۱۱۱۱۱۲ و '۱۰۲۲۱۱۱۱۱۱۱۱۱۱۱۱۱۱۱۱۱۱۱۱۱۱۱۱۱۱۱۱۱۱۳ و '۱۰۲۲۱۱۱۱۱۱۱۱۱۱۱۱۱۱۱۱۱۱۱۱۱۱۱۱۱۱۱۱۱۱۴ و '۱۰۲۲۱۱۱۱۱۱۱۱۱۱۱۱۱۱۱۱۱۱۱۱۱۱۱۱۱۱۱۱۱۱۵ و '۱۰۲۲۱۱۱۱۱۱۱۱۱۱۱۱۱۱۱۱۱۱۱۱۱۱۱۱۱۱۱۱۱۱۶ و '۱۰۲۲۱۱۱۱۱۱۱۱۱۱۱۱۱۱۱۱۱۱۱۱۱۱۱۱۱۱۱۱۱۱۷ و '۱۰۲۲۱۱۱۱۱۱۱۱۱۱۱۱۱۱۱۱۱۱۱۱۱۱۱۱۱۱۱۱۱۱۸ و '۱۰۲۲۱۱۱۱۱۱۱۱۱۱۱۱۱۱۱۱۱۱۱۱۱۱۱۱۱۱۱۱۱۱۹ و '۱۰۲۲۱۱۱۱۱۱۱۱۱۱۱۱۱۱۱۱۱۱۱۱۱۱۱۱۱۱۱۱۱۱۰ و '۱۰۲۲۱۱۱۱۱۱۱۱۱۱۱۱۱۱۱۱۱۱۱۱۱۱۱۱۱۱۱۱۱۱۱ و '۱۰۲۲۱۱۱۱۱۱۱۱۱۱۱۱۱۱۱۱۱۱۱۱۱۱۱۱۱۱۱۱۱۱۱۲ و '۱۰۲۲۱۱۱۱۱۱۱۱۱۱۱۱۱۱۱۱۱۱۱۱۱۱۱۱۱۱۱۱۱۱۱۳ و '۱۰۲۲۱۱۱۱۱۱۱۱۱۱۱۱۱۱۱۱۱۱۱۱۱۱۱۱۱۱۱۱۱۱۴ و '۱۰۲۲۱۱۱۱۱۱۱۱۱۱۱۱۱۱۱۱۱۱۱۱۱۱۱۱۱۱۱۱۱۱۱۵ و '۱۰۲۲۱۱۱۱۱۱۱۱۱۱۱۱۱۱۱۱۱۱۱۱۱۱۱۱۱۱۱۱۱۱۶ و '۱۰۲۲۱۱۱۱۱۱۱۱۱۱۱۱۱۱۱۱۱۱۱۱۱۱۱۱۱۱۱۱۱۱۷ و '۱۰۲۲۱۱۱۱۱۱۱۱۱۱۱۱۱۱۱۱۱۱۱۱۱۱۱۱۱۱۱۱۱۱۸ و '۱۰۲۲۱۱۱۱۱۱۱۱۱۱۱۱۱۱۱۱۱۱۱۱۱۱۱۱۱۱۱۱۱۱۹ و '۱۰۲۲۱۱۱۱۱۱۱۱۱۱۱۱۱۱۱۱۱۱۱۱۱۱۱۱۱۱۱۱۱۱۰ و '۱۰۲۲۱۱۱۱۱۱۱۱۱۱۱۱۱۱۱۱۱۱۱۱۱۱۱۱۱۱۱۱۱۱ و '۱۰۲۲۱۱۱۱۱۱۱۱۱۱۱۱۱۱۱۱۱۱۱۱۱۱۱۱۱۱۱۱۱۱۲ و '۱۰۲۲۱۱۱۱۱۱۱۱۱۱۱۱۱۱۱۱۱۱۱۱۱۱۱۱۱۱۱۱۱۱۱۳ و '۱۰۲۲۱۱۱۱۱۱۱۱۱۱۱۱۱۱۱۱۱۱۱۱۱۱۱۱۱۱۱۱۱۱۴ و '۱۰۲۲۱۱۱۱۱۱۱۱۱۱۱۱۱۱۱۱۱۱۱۱۱۱۱۱۱۱۱۱۱۱۱۵ و '۱۰۲۲۱۱۱۱۱۱۱۱۱۱۱۱۱۱۱۱۱۱۱۱۱۱۱۱۱۱۱۱۱۱۱۶ و '۱۰۲۲۱۱۱۱۱۱۱۱۱۱۱۱۱۱۱۱۱۱۱۱۱۱۱۱۱۱۱۱۱۱۱۷ و '۱۰۲۲۱۱۱۱۱۱۱۱۱۱۱۱۱۱۱۱۱۱۱۱۱۱۱۱۱۱۱۱۱۱۱۸ و '۱۰۲۲۱۱۱۱۱۱۱۱۱۱۱۱۱۱۱



شکل ۱: موقعیت منطقه مورد مطالعه در سطح کشور و نسبت به شهر تهران

در مرحله اول عکسهای هوایی منطقه تفسیر چشمی شده و با کمک نقشه‌های توپوگرافی، نقشه اولیه کاربری/پوشش اراضی و اجزای واحدهای اراضی براساس روش رئوپدالولژیک (Zink, 1988) تهیه گردید.

در مرحله عملیات صحرایی با انجام پیمایش، حدود مرز واحدهای نقشه تهیه شده، کترل و اصلاحات مورد نیاز انجام شد. همچنین اطلاعات مربوط به پوشش گیاهی منطقه با روش ۴ عاملی (محمدی, ۲۰۰۰) و وضعیت کشاورزی منطقه (دیم و آبی) جمع‌آوری گردید.

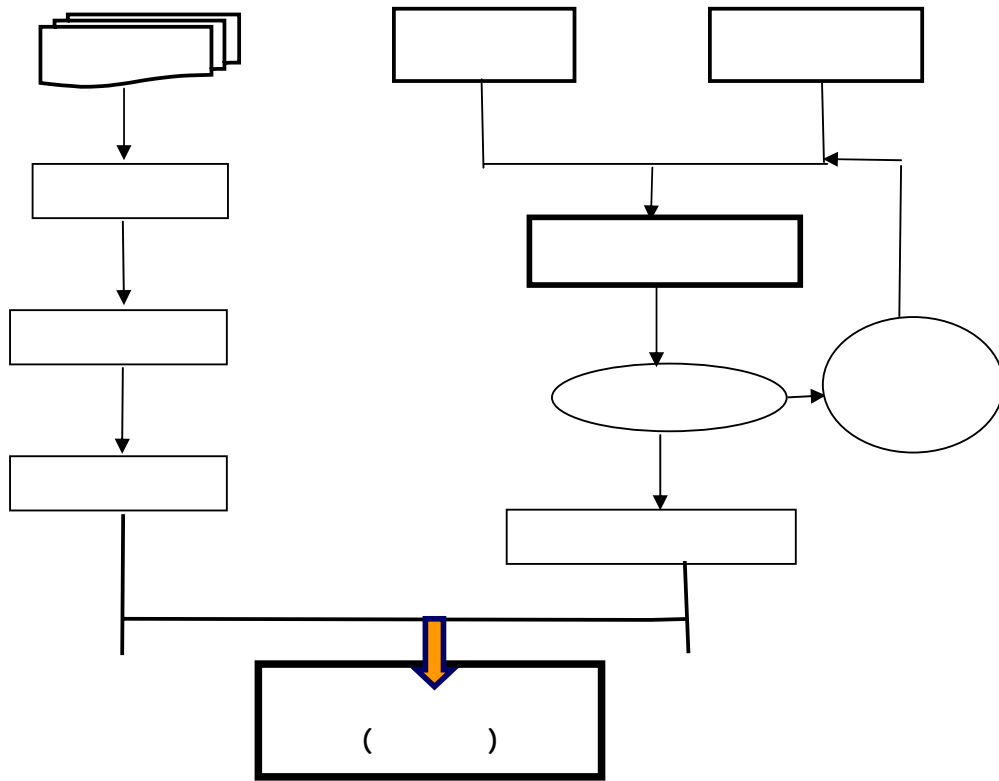
در مرحله سوم با توجه به اطلاعات و داده‌های در دسترس و همچنین اطلاعات جمع‌آوری شده از مرحله دوم، نسبت به تجزیه و تحلیل، تلفیق و پردازش اطلاعات اقدام گردید. مراحل فوق را می‌توان در نمودار زیر خلاصه نمود. (شکل ۲).

#### ب: مواد

در این تحقیق از نقشه‌های توپوگرافی ۱:۵۰۰۰۰ سازمان جغرافیایی کشور، عکسهای هوایی ۱:۵۰۰۰۰ و داده‌های ماهواره لندست (سنجدنه TM) مربوط به اردیبهشت ۱۳۷۷، استفاده گردید. تجزیه و تحلیل و پردازش اطلاعات در محیط GIS با استفاده از نرم افزار ILWIS انجام شده و برای ساخت بانک اطلاعاتی از نرم افزار Excel استفاده شد.

#### ج: روش تحقیق

روش تحقیق را می‌توان به‌طور خلاصه شامل پردازش اولیه تصاویر ماهواره‌ای، تفسیر عکسهای هوایی، مطالعات صحرایی و جمع‌آوری اطلاعات لازم و در نهایت تجزیه و تحلیل و پردازش نهایی اطلاعات بود.



شکل: نمودار مراحل انجام تحقیق

گردیدند. ریشه مربع خطای تحت عنوان Sigma برابر ۰/۷۵۶ پیکسل محاسبه شد.

تصحیحات اتمسفری: سطح زمین و ذرات معلق در هوا باعث کاهش درجه وضوح تصاویر در باندهای مرئی و ماوراء بنفس می‌شوند که این تاثیر روی طول موجهای کوتاه‌تر از ۵/۰ میکرومتر بیشتر و در طول موجهای بلندتر کمترین تاثیر پراکنشی را دارد. در تصاویر TM باند ۱ (آبی) بیشتر از باندهای دیگر تحت تاثیر قرار می‌گیرد و باند ۷ کمترین پراکنش اتمسفری را دارد (علوی‌پنا، ۱۳۸۲). برای رفع این اشکال تصحیحات اتمسفری روی تصاویر انجام پذیرفت. به این منظور ابتدا هیستوگرام

#### ۱- بازسازی تصاویر

بازسازی انجام شده روی تصاویر ماهواره‌ای شامل: تصحیحات زمینی: تصاویر بدست آمده از ماهواره برای اینکه قابلیت کاربرد در محیط GIS را داشته باشد نیاز به مرجع زمینی دارند. برای این منظور از نقشه توپوگرافی ۱:۵۰۰۰۰ و سیستم مختصات UTM استفاده شد، به این ترتیب که ابتدا ۱۸ نقطه کنترلی پراکنده در سطح منطقه روی نقشه توپوگرافی (دارای سیستم مختصات طول و عرض) تعیین شده سپس این نقاط با استفاده از دستور Transform coordinates تبدیل به سیستم متریک (UTM) شده و بر روی تصاویر تعریف

استفاده از اطلاعات رقومی لندست TM در تهیه نقشه پوشش زمین و طبقه‌بندی وضعیت مرتع مطالعه موردي حوضه آبخیز نمود

جدول شماره ۲: انواع پوشش زمین با استفاده از ترکیب رنگی کاذب

نوع پوشش زمین	رنگ	ملاحظات
زمین	تصویر	
اراضی	قرمز	انعکاس زیاد در باند مادون قرمز (باند ۴)
کشاورزی	آبی	
آبی	خاک لخت	انعکاس زیاد در باند آبی (باند ۱)
آبی	مراعع	انعکاس زیاد در باند سبز (باند ۳)
سبز	توude سنگی	انعکاس زیاد در باندهای ۱ و ۳ و ۴
سبز	صورتی	
(صخره)	کم رنگ	

با توجه به اینکه تصاویر TM دارای ۷ باند می‌باشد تعداد PC های ایجاد شده برابر ۷ می‌باشد. برای منطقه مورد مطالعه از بین PC های مختلف ایجاد شده، موارد ذیل بر اساس قابلیت وضوح پذیریده‌ها در هر یک از آنها در مقایسه با واقعیت منطقه و با توجه به اهداف مطالعه مناسب بنظر رسیدند:

PC1: برای مطالعه اراضی کشاورزی و زمین شناسی

PC3: برای مطالعه خاک لخت

PC4: برای مطالعه اراضی کشاورزی

با استفاده از تحلیل مولفه‌های اصلی، ترکیب رنگی کاذب ایجاد شد که برای منطقه مورد مطالعه ترکیب رنگی کاذب PC های 7.3.1 تفاوت بین خاک لخت و اراضی کشاورزی آبی را به وضوح نشان می‌داد.

### ۳- طبقه‌بندی تصاویر

هدف اساسی از طبقه‌بندی اطلاعات ماهواره‌ای تبدیل ارزش‌های طیفی تصاویر به اطلاعات مفید و قابل استفاده است (مسعودی، ۱۳۸۰) که در آن تمامی پیکسل‌های تصویر به طبقه‌بندی‌های پوشش زمین اختصاص می‌یابند.

باندهای ۱ الی ۷ تهیه و بعد ارزش عددی باندها، از پایین ترین ارزش عددی باند ۷ (برابر<sup>۱</sup>) کسر گردید. به عبارت دیگر ارزش عددی باندها منهای ۴ شد.

### ۲- آشکار سازی تصاویر

تکنیکهای آشکار سازی شامل روش‌های جهت اصلاح، بهبود کیفیت و قابلیت تعبیر و تفسیر تصاویر برای کاربر می‌باشند (Mulders, 1987). اهداف آشکار سازی تصاویر رقومی عبارت از افزایش دیداری اختلافهای کم به منظور مشاهده نمودن آنها به صورت ساده و آسان است. روش‌های آشکار سازی که در این مطالعه بکار گرفته شد شامل ترکیب رنگی کاذب و تجزیه و تحلیل مولفه‌های اصلی می‌باشد.

#### : (F.C.C)

ایجاد تصویر رنگی موجب وضوح بهتر پدیده‌ها و تفسیر راحت‌تر آنها می‌شود. یک ترکیب رنگی معمولاً شامل ۳ باند می‌باشد که هر باند معرف یک رنگ پایه (قرمز، سبز و آبی) است که با توجه به هدف مطالعه از میان ترکیب رنگهای ایجاد شده، ترکیب 4.3.1 (RGB) دارای بهترین وضوح برای تفسیر چشمی منطقه بود که در آن ۴ نوع پوشش زمین با رنگهای مشخص مطابق جدول ۲ قابل تشخیص بود.

#### ب: تحلیل مولفه‌های اصلی (PC)

تحلیل مولفه‌های اصلی یک روش تحلیل آماری برای استخراج داده‌های اصلی بدون از دست دادن اطلاعات باندهای دیگر می‌باشد. یا به بیان دیگر PC یک روش جمع آوری اطلاعات درباره باندهای طیفی با استفاده از نقاط متراکم در یک فضای چند بعدی می‌باشد که تعداد PC ها برابر با تعداد باندهای ورودی می‌باشد.

1 - Digital number

2 - Image enhancement

در این تحقیق برای تعیین انواع پوشش زمین، ابتدا NDVI ساخته شده و بعد طبقه‌بندی گردید که ۴ نوع پوشش گیاهی شامل ۳ طبقه مرتع (براساس وضعیت فعلی) مرتع فقیر، مرتع متوسط، مرتع خوب و اراضی کشاورزی آبی از هم تفکیک شدند. (جدول و شکل ۳).

جدول ۳: طبقه‌بندی NDVI

درصد	مساحت (هکتار)	استفاده از اراضی
۱۶/۹	۳۷۳۳	مرتع فقیر
۵۵/۷	۱۲۲۹۳	مرتع متوسط
۱۷/۷	۳۹۱۳	مرتع خوب
۹/۶	۲۱۱۸	اراضی کشاورزی آبی
۱۰۰	۲۲۰۵۷	جمع

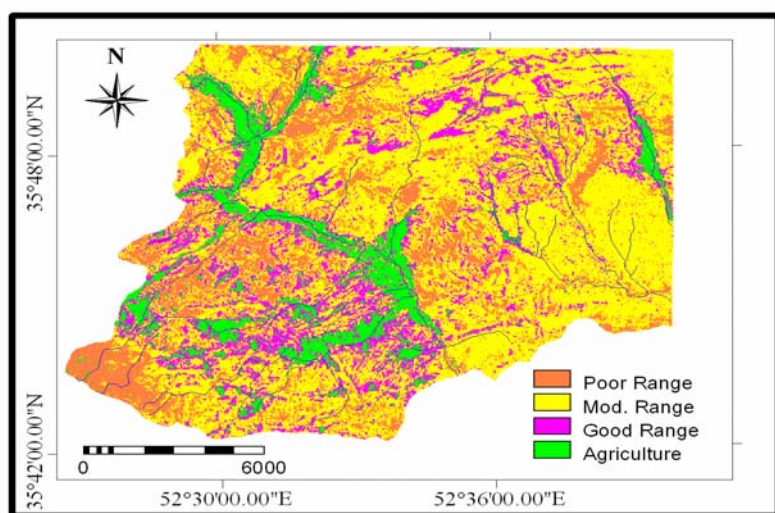
در این مرحله با استفاده از شاخص پوشش گیاهی NDVI اراضی مرتعی به ۳ طبقه تفکیک شدند و اراضی کشاورزی آبی نیز به صورت واضح تفکیک گردیدند، ولی امکان جداسازی اراضی دیم و صخره‌ای میسر نبود.

طبقه‌بندی تصاویرکه در این تحقیق انجام شد با استفاده از تکنیکهای زیر انجام گرفت:

شاخص پوشش گیاهی یک روش معمول و ساده برای استخراج اطلاعات از داده‌های سنجش از راه دور است (علوی‌پناه، ۱۳۸۲). در این تحقیق از شاخص پوشش گیاهی (NDVI) که از رایج‌ترین شاخص‌های پوشش گیاهی است، استفاده شد. از ترکیب باندهای ۳ و ۴ (قرمز و مادون قرمز) طبق فرمول ذیل بدست می‌آید:

$$NDVI = [(TM4-TM3)/(TM4+TM3)]$$

ارزش عددی NDVI بین -۱ و +۱ می‌باشد. عدد -۱ معرف اراضی لخت و فاقد هر گونه پوشش گیاهی است و عدد +۱ برای اراضی جنگلی که دارای پوشش گیاهی متراکم هستند می‌باشد. به دلیل اینکه اعداد -۱ و +۱ بسیار به هم نزدیک هستند و امکان طبقه‌بندی و تعیین انواع طبقات اراضی مشکل می‌باشد. بنابراین برای طبقه‌بندی NDVI فرمول فوق را در عدد ۱۲۷ ضرب بعد نتیجه با ۱۲۸ جمع می‌شود. در نتیجه تصاویر حاصل دارای دامنه وسیعی از ارزش عددی (بین +۱ تا ۲۵۵) بوده و به راحتی قابل طبقه‌بندی می‌باشد.



شکل ۳: نقشه طبقه‌بندی NDVI

نبوذ، بنابراین برای تفکیک اراضی دیم، ابتدا بر اساس مشاهدات صحرایی (نقشه استفاده فعلی از اراضی) و با استفاده از نقشه واحدهای اراضی مقیاس ۱:۵۰۰۰۰ (LMU)، واحدهای اراضی که در آن زراعت دیم وجود داشت از نقشه اصلی جدا گردید. به این شکل که در نقشه واحدهای اراضی، واحدهای دارای زراعت دیم با کد ۱ و واحدهای اراضی فاقد زراعت دیم با کد صفر مشخص گردیدند (اراضی کوهستانی و تپه‌ها). سپس این نقشه در نقشه شاخص پوشش گیاهی NDVI ضرب گردید، در نتیجه نقشه NDVI مناطق فاقد زراعت دیم دارای ارزش رقومی صفر و بقیه قسمتها دارای همان ارزش واقعی نقشه NDVI بودند. سپس طبقه‌بندی NDVI برای این قسمت گردیدند و در نهایت این قسمت از نقشه (قسمت جدا شده) دوباره به نقشه اصلی متصل و یک نقشه واحد ارائه گردید که نقشه نهایی انواع پوشش زمین شامل ۶ طبقه پوشش تهیه گردید (جدول و شکل ۴).

جدول ۴: مساحت و درصد انواع پوشش زمین

درصد	مساحت	پوشش زمین (هکتار)
۹/۸	۲۱۶۷	اراضی آبی
۹/۷	۲۱۴۳	اراضی دیم
۱۵/۹	۳۵۱۱	صخره (توده سنگی)
۱۲/۴	۲۷۴۵	مراتع فقیر
۴۲/۸	۹۴۳۸	مراتع متوسط
۹/۳	۲۰۵۳	مراتع خوب
۱۰۰	۲۲۰۵۷	جمع

این روش طبقه‌بندی با استفاده از نمونه گیری بر اساس اطلاعاتی که از عملیات صحرایی و مناطق مشاهدهای ( نقاط کترل) بدست می‌آید انجام می‌گیرد. به این ترتیب که ابتدا انواع کاربری اراضی در عملیات صحرایی مشخص شده و نقاط کترل برای هر نوع کاربری در روی تصاویر تعیین می‌شود. هر پیکسل از تصویر در طبقه‌بندی پوشش زمین (از قبل مشخص شده) طبقه‌بندی می‌شود. برای انجام نمونه گیری مناسب و دقیق، از ترکیب باندهای ۴,۳,۱ و ۴,۳,۲ (ترکیب رنگی کاذب) استفاده گردید. پس از اتمام نمونه گیری، تصاویر با روش‌های مختلف (طبقه‌بندی جعبه‌ای، حداقل فاصله تا میانگین، فاصله ماهالانوبیس و حداقل احتمال) طبقه‌بندی شدند که از بین این روشها روش حداقل احتمال با حد آستانه ۲۵ دارای بیشترین دقت بود که در نهایت ۴ طبقه پوشش زمین شامل اراضی کشاورزی آبی، صخره (توده سنگی)، مراتع متوسط و فقیر استخراج شدند. با استفاده از این روش مراتع در ۲ طبقه و اراضی صخره‌ای (توده سنگی) استخراج گردیدند، ولی امکان جداسازی اراضی دیم از مراتع میسر نبود.

برای تهیه نقشه نهایی انواع پوشش زمین لازم است. علاوه بر عوامل فوق، مناطق صخره‌ای و زراعت دیم نیز جدا گردند. مناطق صخره‌ای (بنابر نقشه واحدهای اراضی، شامل مناطق با شبیه بالای ۶۰٪ نیز بود، بر اساس نقشه واحدهای اراضی) از طریق طبقه‌بندی نظارت شده تفکیک شدند. ولی تفکیک اراضی دیم از مراتع با استفاده از روش‌های طبقه‌بندی انجام شده در مراحل فوق امکان پذیر

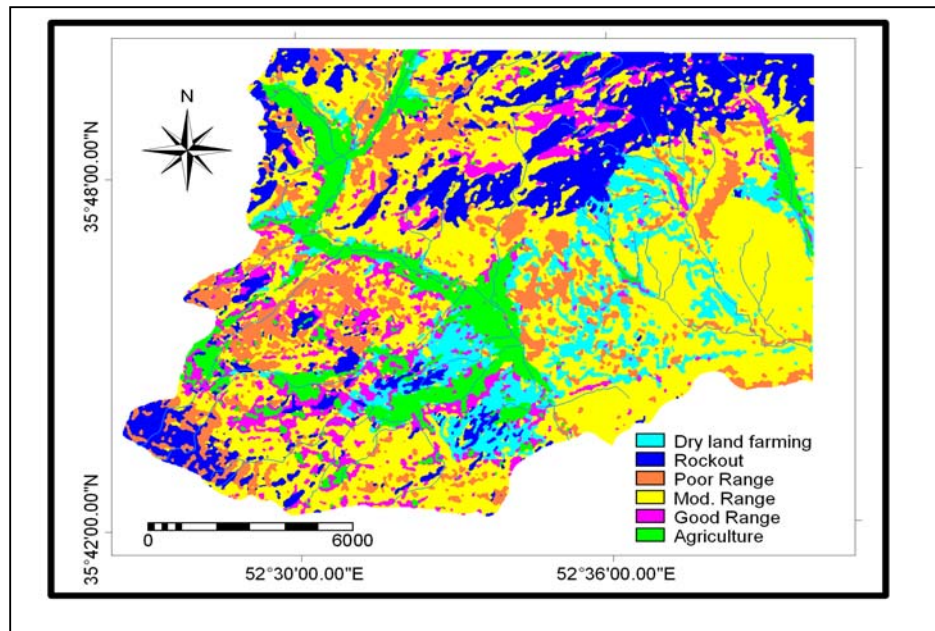
1 - Box classification

2 - Minimum distance to mean

3 - Mahalanobis

4 - Maximum likelihood

5 - Threshhold



نقشه ۴: نقشه نهایی پوشش زمین

تعلیمی برای هر یک از کلاسها و سایر اعداد نشان دهنده پیکسل‌های غلطی است که وارد طبقه دیگری شده‌اند. صحت کلی نقشه تهیه شده برابر با  $\frac{89}{5}$  درصد تعیین شد. بیشترین دقت مربوط به اراضی کشاورزی آبی با  $\frac{95}{4}$  درصد و کمترین مربوط به اراضی دیم  $\frac{55}{5}$  درصد تعیین گردید.

#### ارزیابی میزان دقت

برای ارزیابی میزان دقت، نقشه تهیه شده با نقاط کنترلی مورد آزمون قرار گرفت بدین ترتیب که نقشه نهایی با نقشه نمونه‌های تعلیمی روی هم گذاری شد. تعداد پیکسل‌هایی که درست طبقه‌بندی شدند و همچنین پیکسل‌هایی که با کاربری‌های دیگر طبقه‌بندی شدند، مشخص شد (جدول ۵). اعداد قطر اصلی جدول نشان دهنده پیکسل‌های درست طبقه‌بندی شده از نمونه‌های

جدول ۵: ماتریس خطای نتایج طبقه‌بندی

### دقت کلی

$$\text{دقت کلی (درصد)} = \frac{100}{1860} \times 1664 = 89/5$$

شاخصی است که به وسیله محققان مختلف برای مطالعات پوشش گیاهی استفاده شده است از جمله (Bani Neameh, 2003), (Mirakhorlo, 1998), (Kahlilpoor, 1999) و (Shamoradi, 1997) برای مطالعات پوشش اراضی از این شاخص استفاده نمودند. فیله‌کش (۱۳۷۹) در این خصوص اظهار می‌دارد NDVI مهمترین شاخصی است که به وسیله آن پوشش گیاهی را از دیگر عوارض تشخیص داد. شاخص NDVI در تعیین میزان نسبی پوشش گیاهی دارای کاربردی موثر است (درویش صفت، ۱۳۷۷).

با توجه به اینکه زمان تصویربرداری در اردیبهشت ماه بوده بنابراین امکان طبقه‌بندی طبقات مرتع وجود داشت، ولی این تصاویر برای جدا کردن اراضی دیم از مرتع مناسب نمی‌باشد (به دلیل انعکاس یکسان امواج و در نتیجه یکسان بودن ارزش عددی باندها)، به ویژه برای اراضی که تبدیل به دیمزار شده و سپس به مدت چند سال به صورت آیش رها شده باشند اغلب به صورت مرتع فقیر طبقه‌بندی می‌شوند. Sokouti Oskouei (۱۹۹۷) برای جدا کردن اراضی دیم، از روش جداسازی نقشه‌ها استفاده نمود. در طبقه‌بندی نامبرده نیز اراضی دیم با اراضی مرتعی فقیر به دلیل داشتن انعکاس برابر در یک طبقه طبقه‌بندی می‌شدند. با توجه به اینکه زمان تصویربرداری مطالعات سکوتی مربوط به مرداد ماه (بعد از برداشت محصول) و در مطالعه حاضر در اردیبهشت ماه (ابتداً فصل رشد گیاهان) می‌باشد، بنابراین پیشنهاد می‌شود برای جداسازی عرصه‌های کشاورزی دیم از تصاویر مربوط به زمانهای دیگر و یا مراحل پایانی رشد

### بحث

از نظر زمین شناسی منطقه مورد مطالعه دارای تشکیلات شیل و توف بوده که این تشکیلات به دلیل عدم وجود پوشش گیاهی و لخت بودن اراضی، در باند آبی (باند ۱) دارای وضوح مناسبی برای تفسیر چشمی می‌باشد بنابراین ترکیب رنگی کاذب 4.3.1 در این منطقه دارای وضوح بهتری نسبت به ترکیب رنگی کاذب 4.3.2 می‌باشد. که با نتایج (عبدی، ۱۳۸۴) همسو است. نامبرده در این خصوص اظهار می‌دارد که تصویر رنگی 4.3.1 استاندارد باندهای قابلیت لازم برای جداسازی واحدهای سنگی را ندارد.

در این تحقیق در طبقه‌بندی نظارت شده بعد از نمونه‌گیری از الگوریتم حداکثر احتمال برای طبقه‌بندی استفاده شد که از میان روش‌های طبقه‌بندی نظارت شده الگوریتم حداکثر احتمال به عنوان دقیق‌ترین روش ذکر شده است (Lillsand, 1994). روش طبقه‌بندی حداکثر احتمال از سایر روش‌های موجود دقیق‌تر بوده و نتایج بهتری می‌دهد (دماؤندی، ۱۳۷۶ و شتابی، ۱۳۷۵). در روش طبقه‌بندی حداکثر احتمال اگر جه محاسبات پیچیده‌تر است، ولی اصولاً نتایج طبقه‌بندی از دقت بیشتری برخوردار است و تغییرات کلاسها در نظر گرفته می‌شود (علوی پناه، ۱۳۸۲). متقدی (۱۳۷۹) برای دستیابی به نقشه کاربری اراضی منطقه حفاظت شده جهان‌نما، از طبقه‌بندی نظارت شده و روش حداکثر احتمال استفاده نمود.

در این تحقیق برای انجام طبقه‌بندی پوشش گیاهی از شاخص NDVI استفاده شده است. یکی از رایج‌ترین

- ۵ - علوفی پناه، ک.، ۱۳۸۲. کاربرد سنجش از راه دور در علوم زمین (علوم خاک)، انتشارات دانشگاه تهران، شماره نشر ۲۶۰.
- ۶ - فیله‌کش، ا.، ۱۳۷۹. بررسی قابلیت کاربرد داده‌های رقومی لندست (TM) برای تهیه نقشه پوشش گیاهی و مقایسه آن با روش زمینی در منطقه سبزوار، پایان نامه کارشناسی ارشد، دانشگاه تربیت مدرس، ۷۸ صفحه.
- ۷ - متقی، م.ر.، ۱۳۷۹. کاربرد تصاویر رقومی سنجنده TM در مطالعه پوشش گیاهی مرتعی، مطالعه موردنی منطقه حفاظت شده جهان نما، پایان نامه کارشناسی ارشد، دانشگاه علوم کشاورزی و منابع طبیعی گرگان، ۱۲۱ صفحه.
- ۸ - مختاری، ا.، فیض‌نیا، س.، ح. احمدی، ج. خواجه‌الدین و رهنما، ف.، ۱۳۷۹. کاربرد سنجش از راه دور در تهیه لابه‌های اطلاعاتی کاربری اراضی و پوشش سطح زمین در مدل فرسایش خاک MPSIAC، فصلنامه علمی پژوهش و سازندگی، سال ۱۳، جلد ۱، شماره ۴۶، بهار ۷۹ صفحه.
- ۹ - مسعودی، م.، ۱۳۸۰. بررسی قابلیت تصاویر ماهواره‌ای در طبقه بندي خاکهای تحت تأثیر شوری و قلیائیت، نشریه تحقیقات مرتع و بیابان ایران، شماره انتشار ۱۳۳، ۲۶۸ صفحه.
- 10 - FAO., 1990. Remote sensing application to land resources, Rome, Italy.
- 11- Bani Neameh , J., 2003. Land evaluation for Land Use Planning with especial attention to sustainable fodder production in the Rouzeh Chai catchment of Orumiyeh area – Iran. MSc. thesis, ITC, Enschede, The Netherlands.
- 12 - Goudarzi, M., 2000. Land evaluation for land use planning in the Namrood area in Iran with special attention to sustainable fodder production. MSc thesis, ITC, Enschede, The Netherlands, 109 P.
- 13 - Kahlilpoor, S. A., 1999. Rangeland Biomass mapping in Damavand, Iran, A case study with GIS and satellite imaginary. MSc. thesis, ITC, Enschede, The Netherlands.
- 14 - Lillsand, T.M ., Kiefer, R.W., 1994. Remote sensing and image interpretation, New York, John Willy and Sons.
- 15 - Mirakhorlo, K., 1998. Management of the rangeland in Damavand Iran, using RS GIS. MSc. thesis, ITC, Enschede, The Netherlands.
- 16 - Mohammadi, A. R., 2000. Determining rangeland type and condition using RS and GIS. MSc. thesis, ITC, Enschede, The Netherlands.

محصولات کشاورزی (زمان قبل از برداشت) استفاده شود.

فیله‌کش (۱۳۷۹) در منطقه سبزوار با تصاویر TM طبقات پوشش زمین شامل مناطق عاری از پوشش، شهرها، مراتع فقیر و خوب، اراضی زراعی آبی و دیم و باگها را تفکیک نمود. فیله‌کش همچنین اظهار می‌دارد که عدم تناسب زمانی داده‌های اخذ شده در منطقه مورد مطالعه و نزدیکی ارزش عددی داده‌های رقومی طبقات به یکدیگر سبب عدم طبقه بندي مطلوب می‌شود. این موضوع نشان دهنده آن است که برای طبقه بندي مناسب بهتر است زمان داده‌ها با دوره رویشی مطابقت داشته باشد. با توجه به تحقیقات انجام شده در کشور می‌توان اظهار نمود که اراضی دیم با مراتع فقیر در یک طبقه طبقه بندي می‌شوند. همچنین عدم تناسب زمانی تصاویر برای کاربری‌های مورد نیاز باعث عدم نتیجه مطلوب در استفاده از داده‌های ماهواره‌ای می‌شود.

### منابع مورد استفاده

- ۱ - درویش صفت, ع.، ۱۳۷۷. جزوه درسی سنجش از راه دور برای دانشجویان کارشناسی ارشد. دانشکده منابع طبیعی دانشگاه تهران، منتشر نشده، ۱۶۴ صفحه.
- ۲ - دماوندی، ع.، ۱۳۷۶. بررسی امکان کاربرد داده‌های ماهواره‌ای در شناسایی و طبقه بندي اراضی شور به روش رقومی، پایان نامه کارشناسی ارشد، دانشگاه تهران، شماره ۹۴۰، ۹۴۴ صفحه.
- ۳ - شتابی جویباری، ی.، ۱۳۷۵. تهیه نقشه جنگل با کمک تصاویر ماهواره‌ای به روش رقومی، پایان نامه کارشناسی ارشد، دانشگاه تهران، ۹۲ صفحه.
- ۴ - عبدالی، پ.، ۱۳۸۴. تهیه نقشه آبرفت‌های کواترنری استان زنجان با استفاده از RS-GIS . فصلنامه مهندسی نقشه‌برداری، دورسنجی و علوم جغرافیا سپهر، سال چهارم، شماره ۵۴، تابستان ۱۳۸۴

استفاده از اطلاعات رقومی لندست TM در تهیه نقشه پوشش زمین

و طبقه‌بندی وضعیت مراتع مطالعه موردنی حوضه آبخیز نمرود

- 20 - Sokouti Oskouei, R., 1997. Land use compatibility as an index for assessing agricultural sustainability, using RS and GIS. MSc. thesis, ITC, Enschede, The Netherlands.
- 21 - Soil Survey Staff., 1998. Keys to Soil Taxonomy. USDA-NSCS, Eight Edition.
- 22 - Zinck, J. A., 1988. Physiography and soils. ITC lecture-notes, ITC, Enschede, The Netherlands.
- 17 - Mulders, M. A., 1987. Remote sensing in soil science, University of Wageningen, the Netherlands.
- 18 - Sabet, F., 2000. Spatial analysis for evaluation of small scale/traditional irrigation system. MSc thesis, ITC, Enschede, The Netherlands.
- 19 - Shamoradi, A. A., 1997. Classification and evaluation of vegetation dynamics of major ecosystems in Colorado using NOAA satellite data, Ph.D. thesis, Colorado state university

## Land cover and rangeland classification map using Land sat satellite image (TM) (Case study) Namrood watershed

M. Goudarzi<sup>1</sup>, M. Farahpour<sup>2</sup> and S. A. Mosavi<sup>1</sup>

1- Researcher of Research Institute of Forests and Rangelands, Tehran, Iran.

2- Assistant Professor, Research Institute of Forests and Rangeland

### Abstract

In Iran, like many other developing countries, high population growth rate causes unfairly uses of natural resources and consequently land cover change. Therefore, detection of land cover (rangelands, irrigated and rainfed agricultural lands, urban areas...) changes can influence local planning and natural resource management. Present study efforts to find a rapid and exact method of recognition different land covers using Landsat satellite data. Methods used in this research were image enhancement, false color composite (FCC), principal components analysis (PCA) and Image classification, i.e. normalized different vegetation index (NDVI) and supervised classification. A GIS environment, ILWIS software, was used. Results showed that irrigated agriculture, rainfed agriculture, rock out crop, rangeland classes (fair, moderate, poor condition) could be separated with overall accuracy of 89%.

**Key words:** Remote sensing, TM satellite image, land use, land cover, Vegetation Index, Namrood watershed